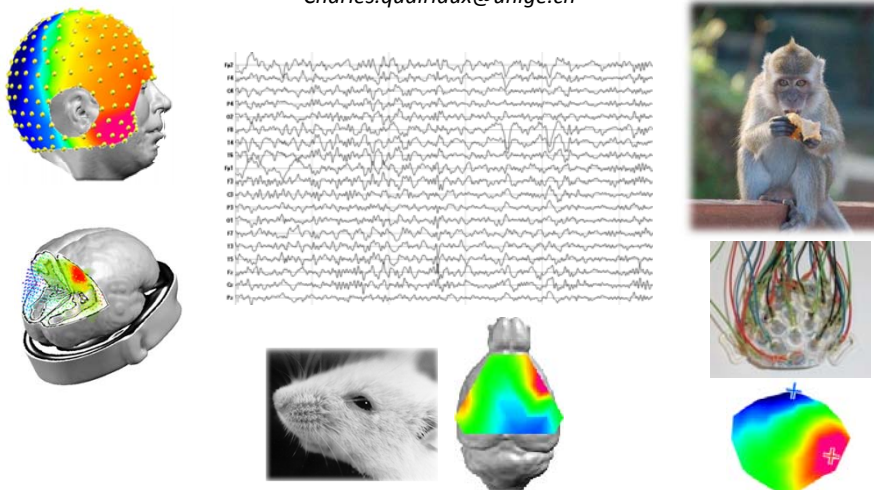


Cours à option 2^{ème}-3^{ème} années « Du neurone au patient »

Cartographie fonctionnelle cérébrale

Charles.quairiaux@unige.ch



Cartographie fonctionnelle cérébrale

1. Cartographie fonctionnelle cérébrale chez l'homme

-Introduction:

Historique, concept de réseaux de neurones

- Méthodes de cartographie fonctionnelle:

A. Invasives: enregistrements intracrâniens

B. Non invasives: TEP, IRMf, EEG, MEG

→ Bases physiologiques de l'EEG

→ Potentiels évoqués et applications

→ Localisation des sources de l'EEG


→ Localisation: développement technologiques

→ Application: épilepsie

2. Cartographie fonctionnelle chez l'animal

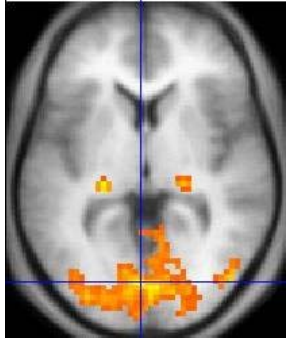
→ Pourquoi?

→ Un tour au labo

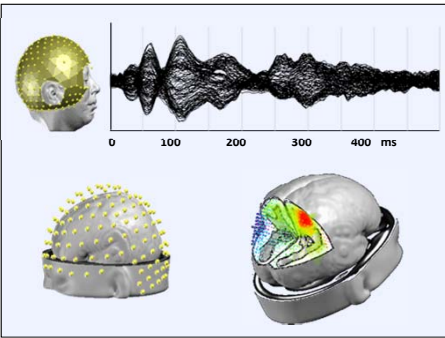
1. Cartographie fonctionnelle cérébrale chez l'homme 

= localisation (spatiale et dynamique) de l'activité cérébrale durant les processus cognitifs par différentes techniques d'imagerie fonctionnelle


Exemples:



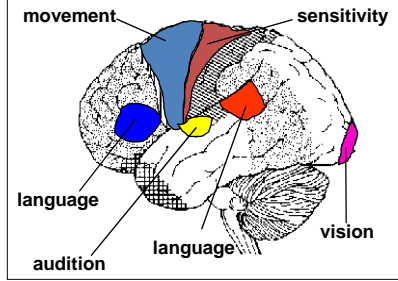
fRMf



EEG and source localization

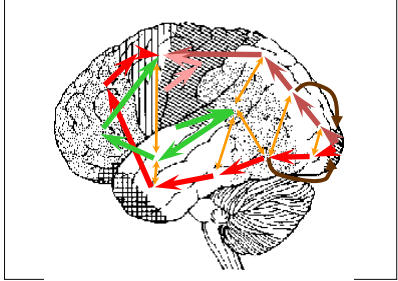
1. Cartographie fonctionnelle cérébrale chez l'homme 

Localisation spatiale



Régions fonctionnelles (=réseaux de neurones)

Dynamique



"large-scale networks"

↔

UNIVERSITÉ DE GENÈVE
FACULTÉ DE MÉDECINE

1. Cartographie fonctionnelle cérébrale chez l'homme

A
X = 8
ACC
cerebellum

B
X = 39
Hippocampus
PFC
X = 42
Left Insula & SI
PFC

C
Z = 0
Bilateral Insula

D
Z = -21
Cerebellum

SSEP

0 10 20 30 40 ms

N20 P30 P45

VEP

50 100 150 200 ms

N70 P100 N160

IRMf: Zones du cerveau activées par la vision de la douleur chez une autre personne
= zones de l'empathie?

EEG et solution inverse: Zones du cerveau activées par un stimulus somatosensoriel ou visuel. **Avantage: dynamique**

UNIVERSITÉ DE GENÈVE
FACULTÉ DE MÉDECINE

Introduction: Historique

Où se trouve l'esprit?

- Hippocrates (460-370 av JC): → Cerveau, "par lui que nous pensons, concevons, regardons, entendons..."
- Platon (424-348 av JC): → Cerveau, "le siège de nos pensées"
- Aristote (384-322 av JC): →Coeur! Sensations, passions, affections...
→Et cerveau : refroidit le sang et abrite l'âme rationnelle
- Galien (131-201) et l'Eglise:→ Âme immatérielle, fonctions mentales dans les ventricules (vide!)
- Descartes (1596-1650): →Âme immatérielle, transmet ses ordres via la glande pinéale
→Cerveau=pompe musculaire

UNIVERSITÉ DE GENÈVE
FACULTÉ DE MÉDECINE

Introduction: Historique

Globalisme:

M. Rolando (1809) and M.J.P. Flourens (1824) made lesions in the CNS of animals and studied the results:

1. Nerves, spinal cord and medulla oblongata: directly excite muscles.
2. Cerebellum: coordination of movements
3. Hemispheres: initiate the voluntary movements

"Le nerf *excite*; la moelle épinière *lie*; le cervelet *coordonne*; les lobes cérébraux *veulent et sentent*."

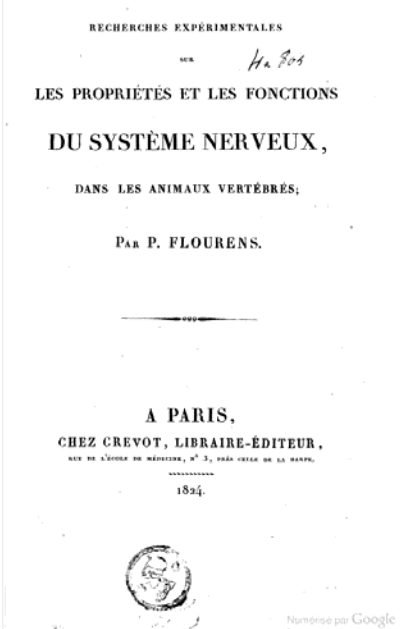
However within the hemispheres they found no single region responsible for memory or cognition!

→ Cognitive functions are globally distributed over the entire cortex= **Globalism**

RECHERCHES EXPÉRIMENTALES
par H. Rol.

LES PROPRIÉTÉS ET LES FONCTIONS
DU SYSTÈME NERVEUX,
DANS LES ANIMAUX VERTÉBRÉS,
PAR P. FLOURENS.

A PARIS,
CHEZ CREVOT, LIBRAIRE-ÉDITEUR,
RUE DE L'ÉCOLE DE MÉDECINE, n° 3, PRÈS CHEZ DE LA MARSE.
1824.



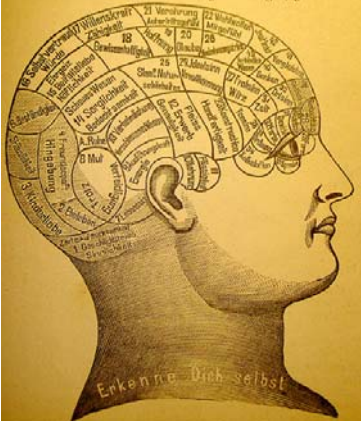

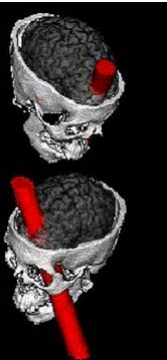
Numérisé par Google

UNIVERSITÉ DE GENÈVE
FACULTÉ DE MÉDECINE

Introduction: Historique

Localisationisme: → Cognitive functions are localized to specific brain centers, cortical areas in particular

- Franz Joseph Gall (1758-1828): la bosse des maths....
- Phineas P. Gage (1823-1860): brain lesions and behavioral changes


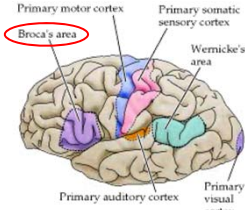





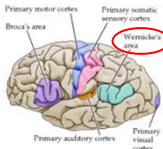
UNIVERSITÉ DE GENÈVE
FACULTÉ DE MÉDECINE

Introduction: Historique

Localisationisme: → Cognitive functions are localized to specific brain centers, cortical areas in particular

- Franz Joseph Gall (1758-1828): la bosse des maths...
- Phineas P. Gage (1823-1860): brain lesions and behavioral changes
- Paul Pierre Broca (1824-1880): Broca's aphasia: inability to produce speech; understanding not massively impaired
- Carl Wernicke (1848-1905): Wernicke's aphasia: inability to understand speech; speech production is possible but paraphasias, speech may be meaningless

UNIVERSITÉ DE GENÈVE
FACULTÉ DE MÉDECINE

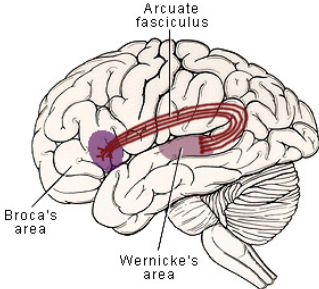
Introduction: Historique

Conduction aphasia= a disconnection syndrome

Not all language deficits are due to lesions in the cerebral cortex

Conduction aphasia: inability to repeat speech directly, understanding unimpaired, production impaired with autocorrections

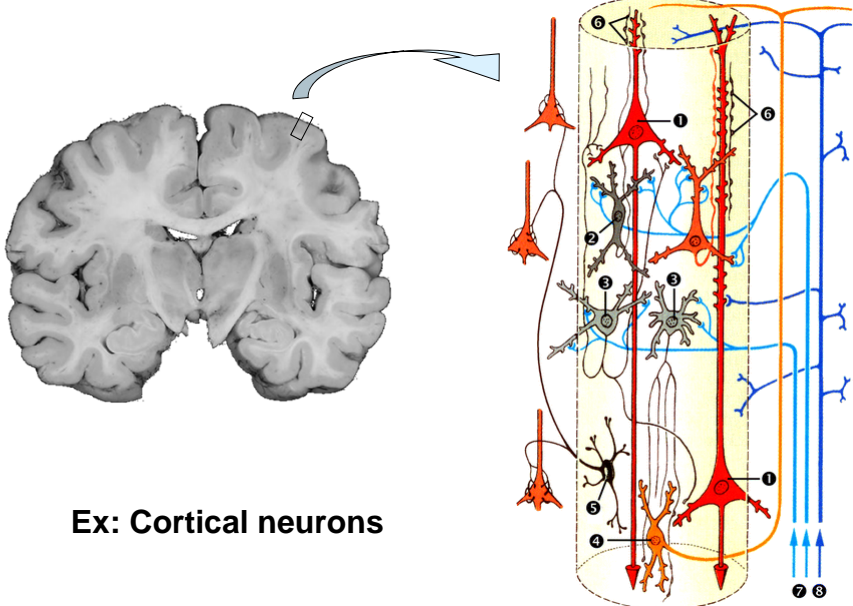
Interruption of fibre pathway: disconnection syndrome



“large-scale networks”

Introduction: networks of neurons

UNIVERSITÉ DE GENÈVE
FACULTÉ DE MÉDECINE

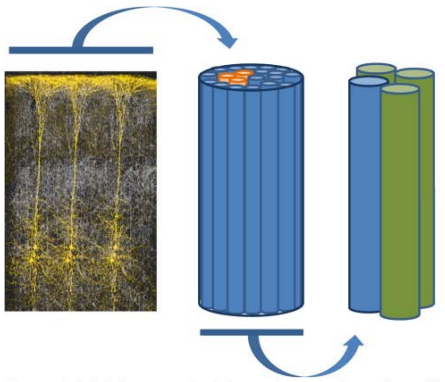


Ex: Cortical neurons

The diagram illustrates the structure of cortical neurons within a brain section. On the left, a grayscale image of a brain shows a small rectangular region highlighted. An arrow points from this region to a detailed schematic on the right. This schematic shows a vertical column of neurons. At the top, labeled '6', are pyramidal neurons with long apical dendrites extending towards the surface. Below them are smaller neurons, labeled '2' and '3', which are likely interneurons. At the bottom, labeled '4', are other types of neurons. The axons of these neurons descend through the column, with some crossing over. On the right side of the column, there are vertical lines representing axons, labeled '7' and '8' at the bottom, indicating their output pathways.

Introduction: networks of neurons

UNIVERSITÉ DE GENÈVE
FACULTÉ DE MÉDECINE



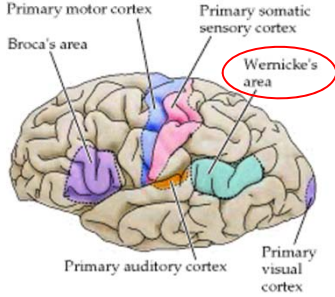
Three cortical minicolumns Cortical macrocolumns Neuronal ensemble

The diagram illustrates the hierarchical organization of cortical columns. On the left, a grayscale image shows three individual cortical minicolumns, which are small, vertical columns of neurons. An arrow points from these minicolumns to a larger, blue cylindrical structure labeled 'Cortical macrocolumns'. A second arrow points from the macrocolumns to a group of three smaller, colored cylinders (blue, green, and blue) labeled 'Neuronal ensemble', representing the individual neurons within a macrocolumn.

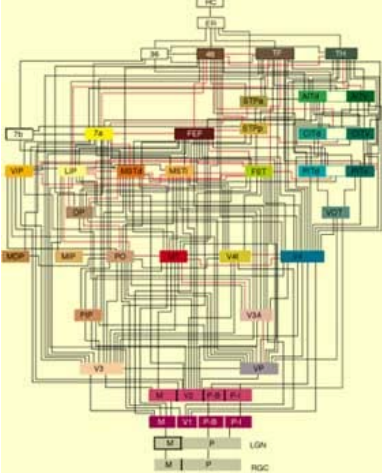
Introduction: networks of neurons

UNIVERSITÉ DE GENÈVE
FACULTÉ DE MÉDECINE

Large-scale functional networks



Simplified language network



**Complete visual networks in the macaque brain
(Felleman and Van Essen, 1990)**

Introduction: networks of neurons

UNIVERSITÉ DE GENÈVE
FACULTÉ DE MÉDECINE

Résumé

Réseaux corticaux: concepts clés

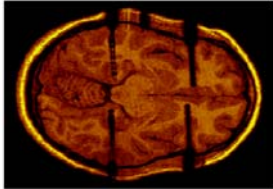
- Le cortex contient des régions fonctionnelles spécialisées
- Les fonctions peuvent être latéralisées
- Les régions corticales spécialisées sont connectées par des projections cortico-corticales, formant des réseaux corticaux à large échelle.
- Les réseaux corticaux peuvent être interprétés comme des modules contribuant à plusieurs fonctions (multifonctionnalité)
- Les réseaux corticaux sont à la fois stables et « plastiques »
- Dynamique: le traitement de l'information par les réseaux est à la fois séquentiel et parallèle

UNIVERSITÉ DE GENÈVE
FACULTÉ DE MÉDECINE

Méthodes de cartographie fonctionnelle

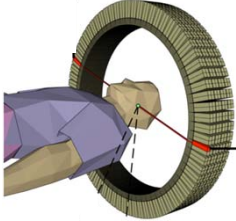

A. Invasive

- Intracranial electrophysiology



B. Non-invasive= functional brain imaging

- Positron-emission tomography (PET scan; 1952)
- Functional magnetic resonance imaging (~1992)
- Electroencéphalographie (EEG)

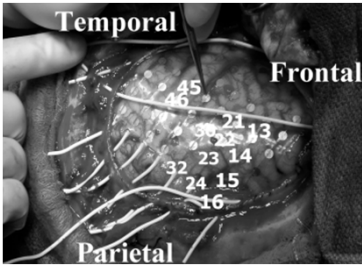
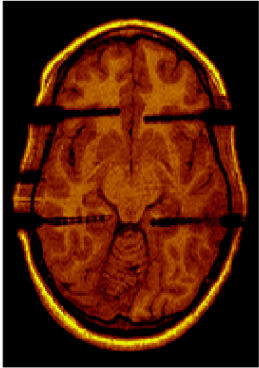
UNIVERSITÉ DE GENÈVE
FACULTÉ DE MÉDECINE


A. Invasive: enregistrements intracrâniens

Electrical recordings and stimulation at the cortical surface or intracortically

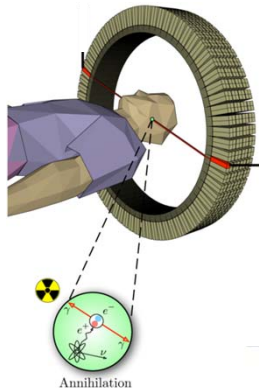
Used in neurosurgical interventions where a mapping of cortical function is required (exeresis of potentially "eloquent", functionally important cortical areas)

W. Penfield (~1950) obtained the first "maps" of the primary somatosensory and motor cortices

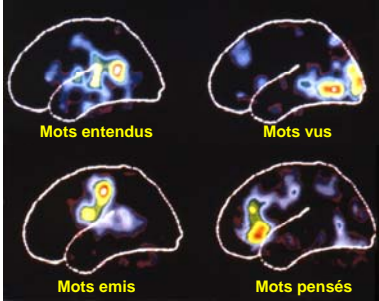
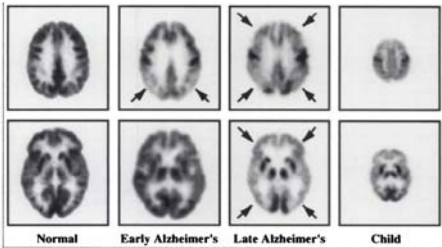



B. Non-invasive: Tomographie par émission de positrons 


TEP (PET scan; 1952): accumulation de marqueurs radioactif émettant des positrons, rencontre avec un électron émettant un photon, détection des photons



Annihilation

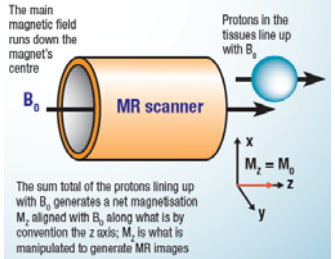
Normal Early Alzheimer's Late Alzheimer's Child

B. Non-invasive: Imagerie par résonance magnétique 

«Imagerie par Résonance Magnétique nucléaire des protons de l'eau » IRM (MRI, 1980)

Physical principle:

- The spin (=magnetic moment of a particle) of protons (especially hydrogen nuclei in water molecules) is aligned along a magnetic field (1 to 14 Tesla)
- The alignment of the proton spin is briefly perturbed by a radiofrequency pulse
- MRI measures parameters reflecting the realignment of proton spin along the main magnetic field: T1(longitudinal relaxation), T2 (transversal relaxation)

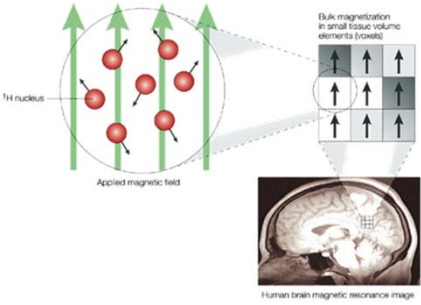


The main magnetic field runs down the magnet's centre

Protons in the tissues line up with B_0

The sum total of the protons lining up with B_0 generates a net magnetisation M_z , aligned with B_0 along what is by convention the z axis; M_z is what is manipulated to generate MR images

$M_z = M_0$



^1H nucleus

Applied magnetic field

Bulk magnetization in small tissue volume elements (boxes)

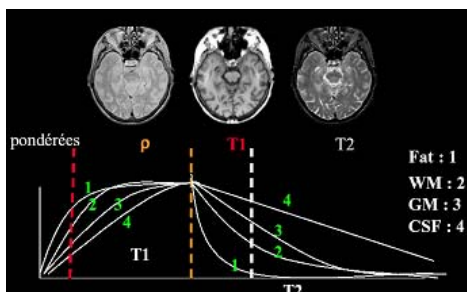
Human brain magnetic resonance image



B. Non-invasive: Imagerie par résonance magnétique



Evolution de l'aimantation des tissus après application d'une radiofréquence (pulse)



T1: mise en évidence des tissus a variation d'aimantation rapide

-Hypersignal graisse (blanc)
-Hyposignal LCR (noir)

Substance grise grise (foncé)
Substance blanche blanche (clair) Donc anatomique!

Sang: noir

T2: mise en évidence des tissus a variation d'aimantation lente

-Hypersignal LCR (blanc)
-Graisse: foncé

Substance grise: clair
Substance blanche: foncé

Sang: noir (sauf oedeme)



B. Non-invasive: IRM fonctionnelle

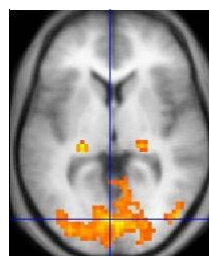
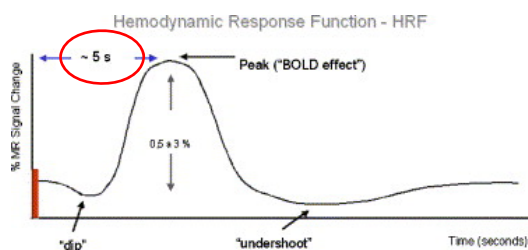


IRMf (fMRI, 1992)

Activité neuronale → Effet BOLD (Blood Oxygenation Level-Dependant)



→ augmentation de consommation O₂ → apport disproportionné de sang → augmentation de l'oxy-hémoglobine

Le rapport deoxy-Hb/oxy-Hb diminue ce qui augmente le signal IRMf!



Zones activées en IRMf par stimulations visuelles

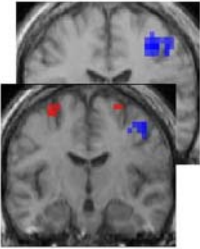
IRMf: applications

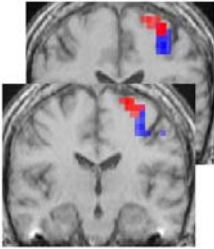
Plasticité après lésion dans le cortex moteur

→ activation par "finger-taping":

20 days after stroke



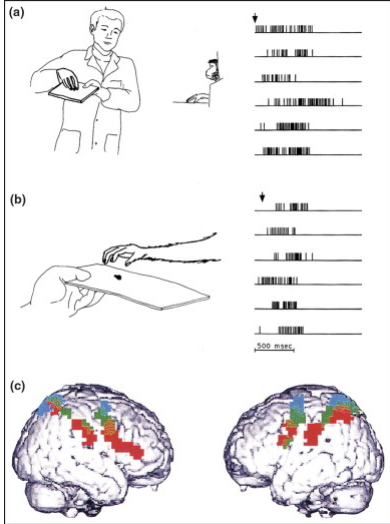
4 months after stroke



Patient avec AVC
Sujet contrôle



Jaillard et al, Brain 2005

Sciences cognitives: système miroir



Lacobani et al, PLoS Biol 2005

Méthodes de cartographie fonctionnelle

Résumé



- **Enregistrements électrophysiologique intracrâniens**
 - + activité neuronale, résolution temporelle
 - invasif, local
- **PET scan**
 - + étude de différents métabolites (glucose, dopamine,...), résolution spatiale (250 mm³)
 - indirect, radioactif, résolution temporelle (100 sec!)
- **fMRI**
 - + résolution spatiale (1 mm³)
 - indirect, résolution temporelle (0.5 à 1.5 sec)
- **EEG!!**
 - + activité neuronale, résolution temporelle (microsec), «large-scale»
 - résolution spatiale

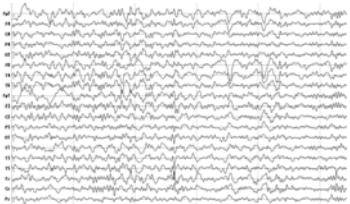
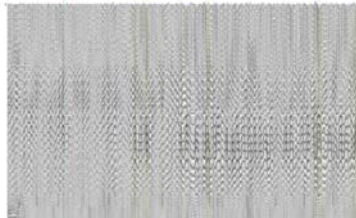
UNIVERSITÉ DE GENÈVE
FACULTÉ DE MÉDECINE

Electroencéphalographie (EEG)

Applications:

- Monitoring des états de conscience (sommeil, coma)
- Epilepsie
- Pathologie des voies sensorielles
- Cartographie fonctionnelles

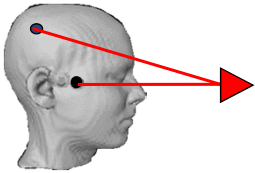



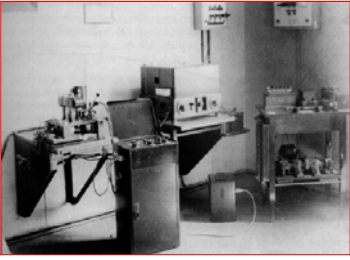




Evolution:
Augmentation des capteurs et imagerie par localisation de source

UNIVERSITÉ DE GENÈVE
FACULTÉ DE MÉDECINE

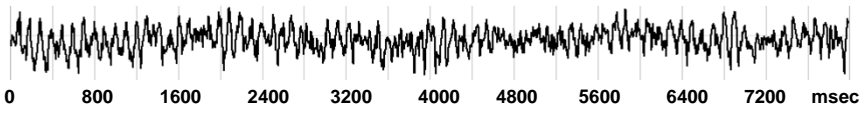
Electroencéphalographie (EEG)







Hans Berger
(1926)



Les différences de potentiels **ENTRE DEUX ELECTRODES** (microvolts) enregistrés à la surface du scalp varient à haute vitesse (millisecondes)
 → L'EEG mesure des changements d'activité électrique dans le cerveau

Bases physiologiques de l'EEG

UNIVERSITÉ DE GENÈVE
FACULTÉ DE MÉDECINE

Origine du signal EEG: dipôles créé par les courants synaptiques (et non les PAs)

Surface Electrode

→ l'activité synaptique de peu de neurones n'est pas visible sur le scalp

Bases physiologiques de l'EEG

UNIVERSITÉ DE GENÈVE
FACULTÉ DE MÉDECINE

Chaque paires d'électrodes mesurent des tracés différents
→ L'EEG mesure des changements d'activité électriques locaux

Bases physiologiques de l'EEG

→ l'activité neuronale doit être synchronisée

irregular

synchronised

Weak Synchronisation → irregular signal with small amplitude
Strong Synchronisation → regular signal with large amplitude

Purves: Neuroscience

Bases physiologiques de l'EEG

→ Le signal EEG dépend de l'orientation des neurones

Radial orientation
= Closed field

Parallel Orientation
= Open (dipolar) field

Columnar organization
of pyramidal neurons

Bases physiologiques de l'EEG

UNIVERSITÉ DE GENÈVE
FACULTÉ DE MÉDECINE

Résumé EEG1

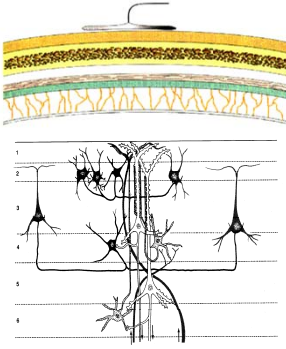
- EEG records *postsynaptic potentials* and not action potentials.
- EEG records the activity of *pyramidal neurons* because of their parallel orientation.
- EEG records the *synchronous activity* of large number of parallel organized neurons that together generate a sufficiently strong dipolar field.

Electroencéphalographie (EEG)

UNIVERSITÉ DE GENÈVE
FACULTÉ DE MÉDECINE

Résumé EEG2

- Synchronous activity in neurons generates an electric and a magnetic field that can be detected using electrodes (EEG) or coils (MEG)
- In contrast to PET or fMRI, EEG and MEG measure direct correlates of neuronal activity
- Advantages: high temporal resolution allows studying synchronization between areas (useful in a large-scale network perspective!)
- Inconvenients: low spatial resolution

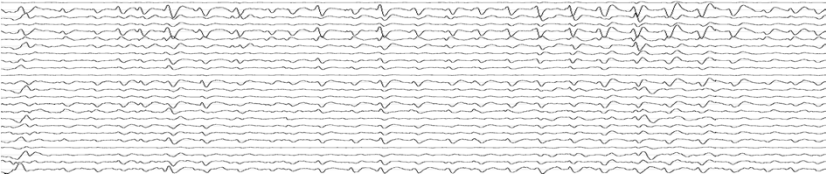


Grande distance entre electrodes et sources du signal
 Nombre de sources plus importante que le nombre d'électrodes
 → Mauvaise résolution spatiale

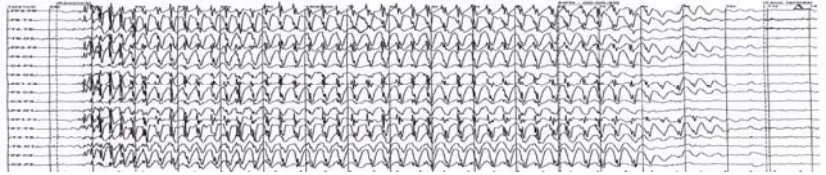
Application: monitoring, épilepsie

UNIVERSITÉ DE GENÈVE
FACULTÉ DE MÉDECINE

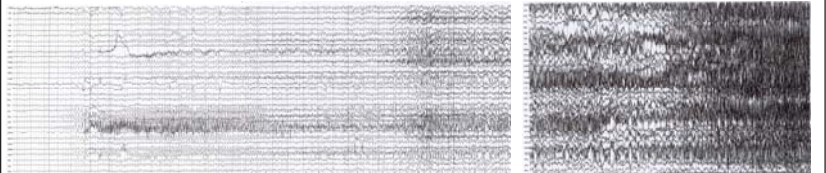
Interictal EEG (spikes)



EEG in generalized Epilepsy (absence)

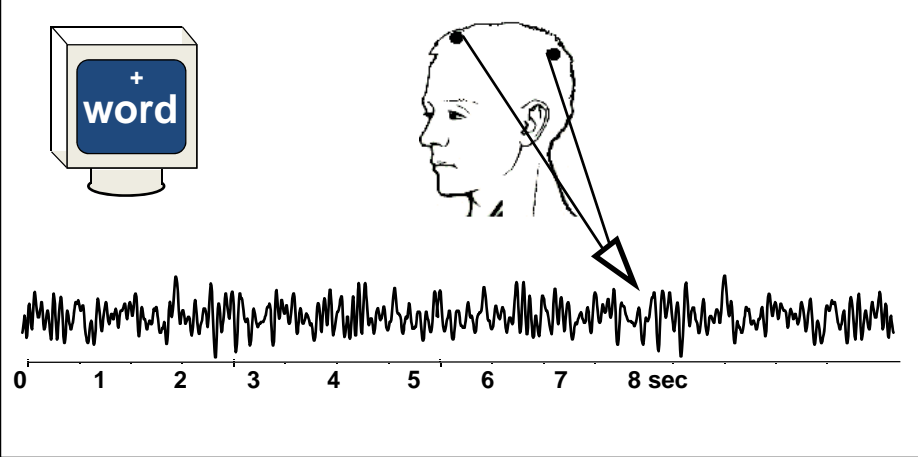


EEG in a partial Epilepsy with secondary generalization

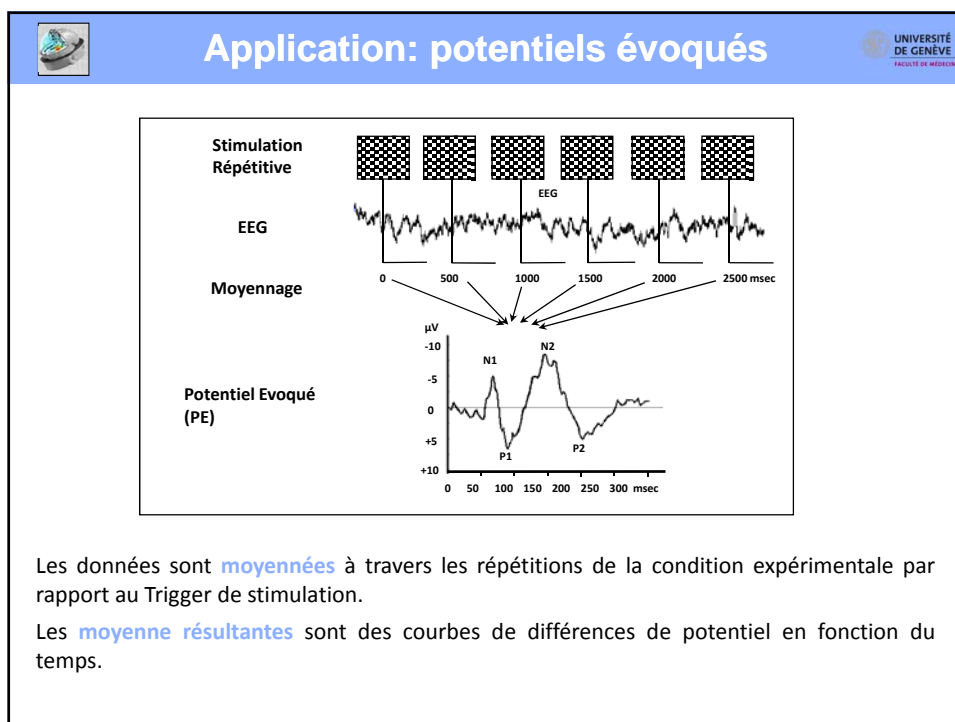
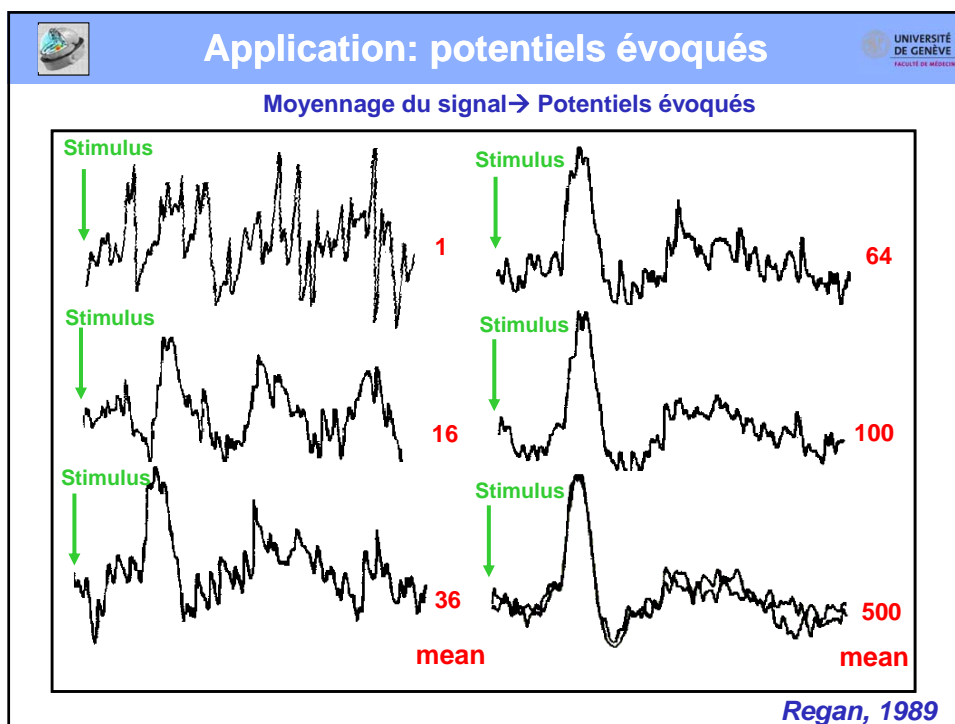


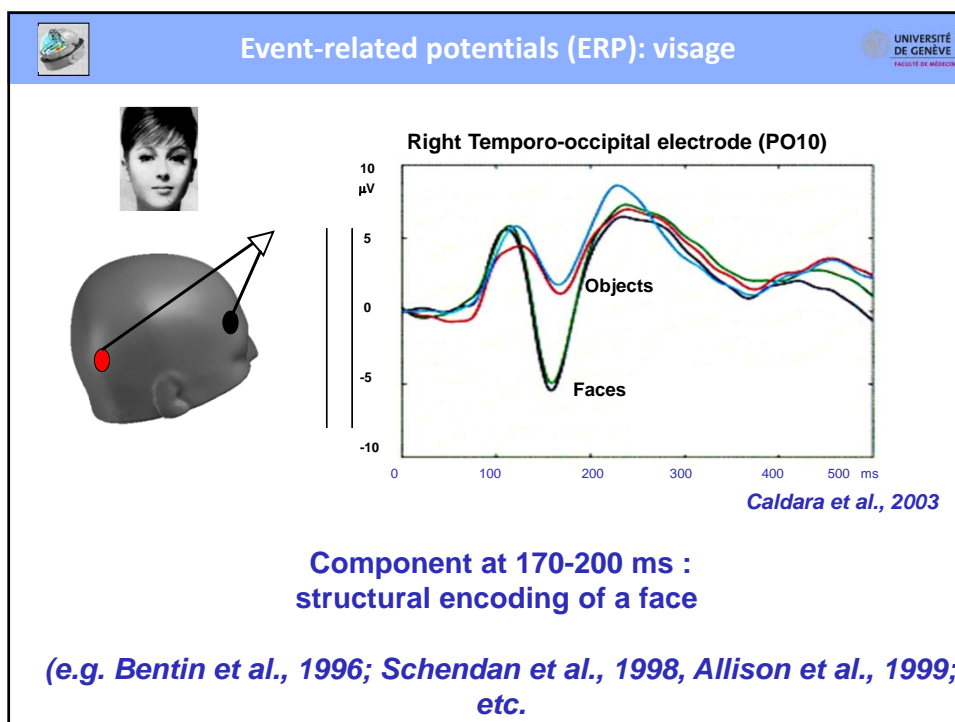
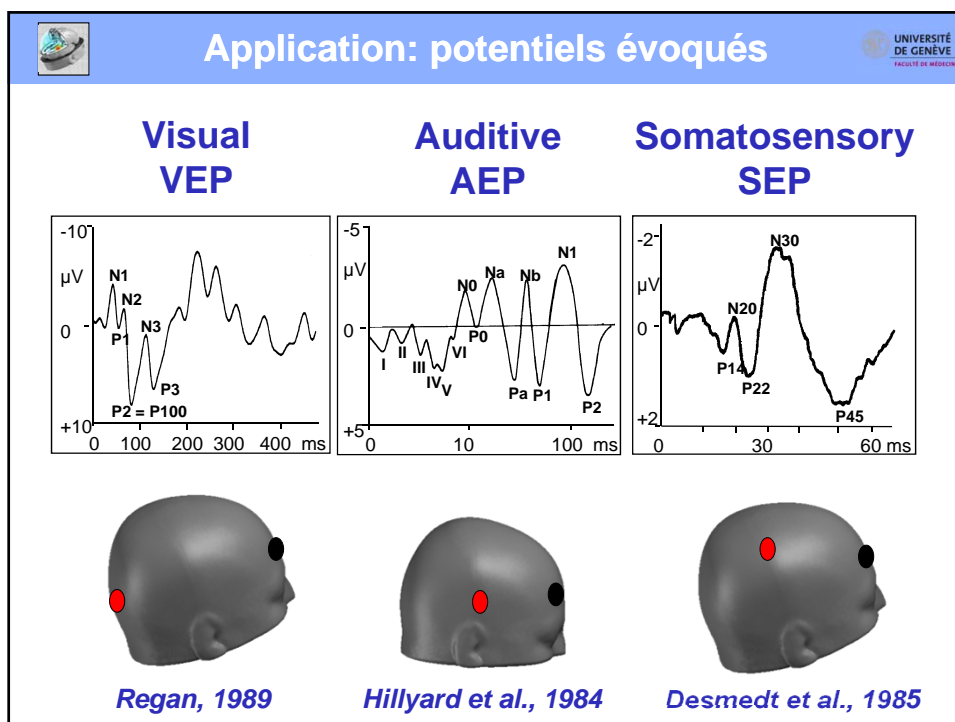
Application: potentiels évoqués

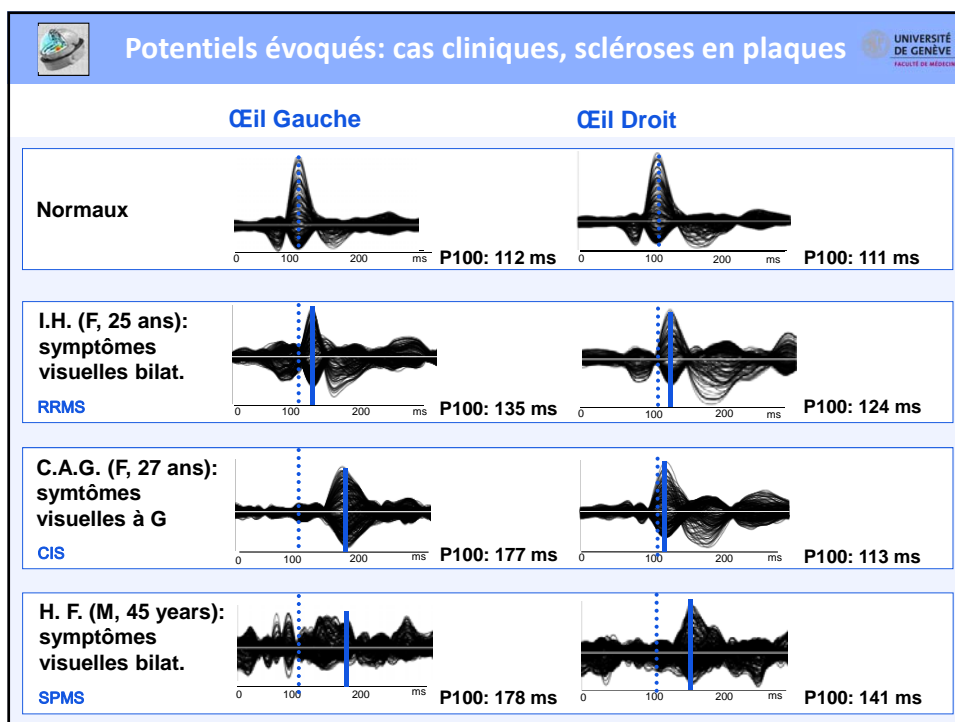
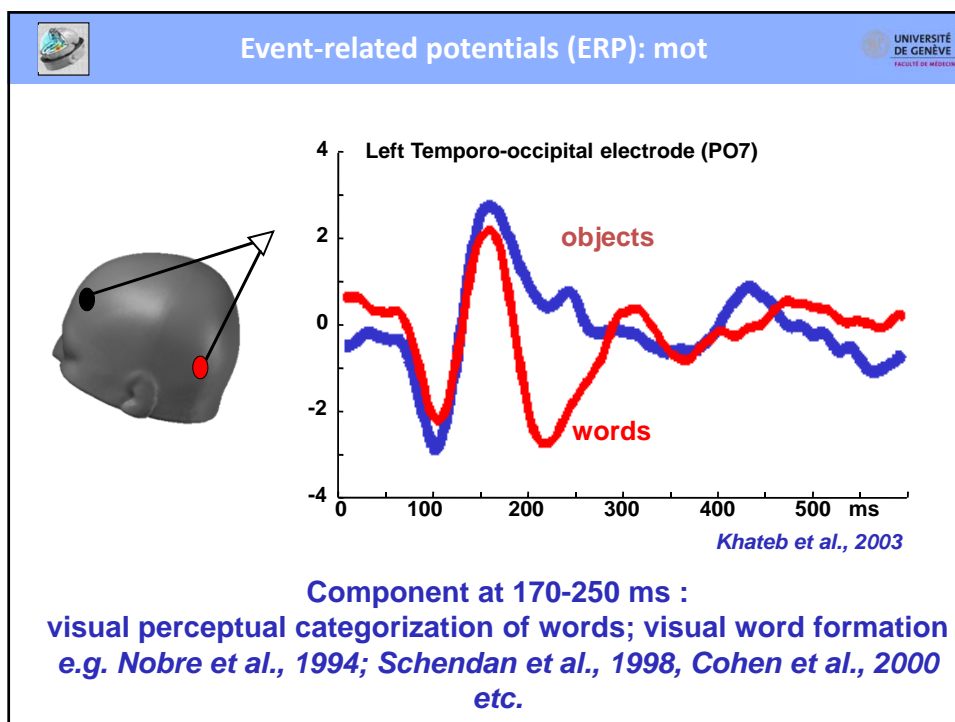
UNIVERSITÉ DE GENÈVE
FACULTÉ DE MÉDECINE



Cependant: la réponse neuronale à un seul stimulus n'est pas facilement visible dans l'EEG!

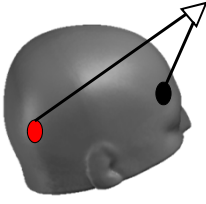




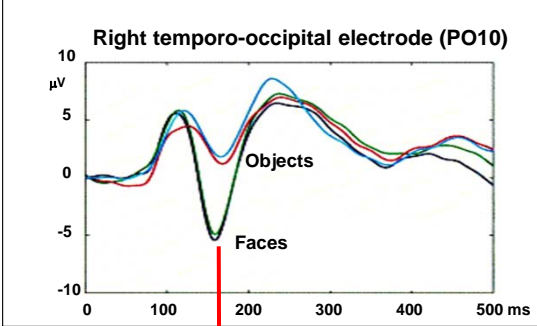


Localisation des sources de l'EEG


Recording of an electric potential on the scalp



Right temporo-occipital electrode (PO10)



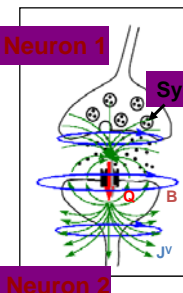
Localization of the active neurons in the brain


?
NO!

Localisation des sources de l'EEG

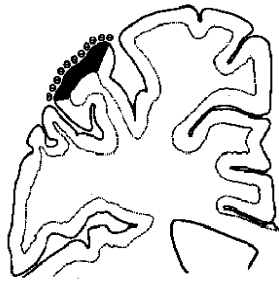
Neurophysiological basis of the scalp EEG

Neuron 1

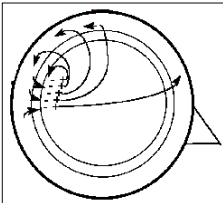


Neuron 2

→

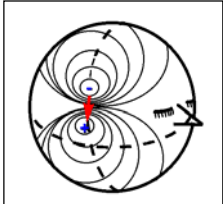


→



↓

Electric Field

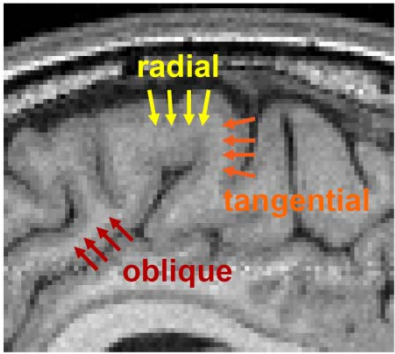


The synchronized synaptic activity of a population of neurons generates an electric field which propagates through the brain up to the surface.

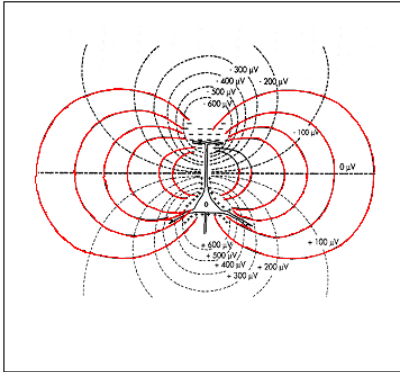
Localisation des sources de l'EEG

UNIVERSITÉ DE GENÈVE
FACULTÉ DE MÉDECINE

The orientation of the neurons with respect to the surface depends on the circumvolution of the brain



www.besa.de

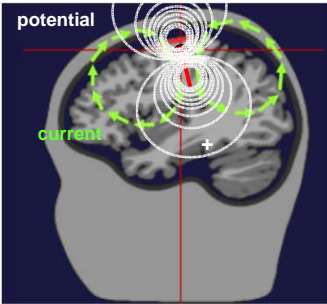


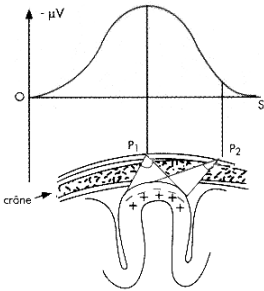
→ The extracellular current flow depends on the orientation of the neurons

Localisation des sources de l'EEG

UNIVERSITÉ DE GENÈVE
FACULTÉ DE MÉDECINE

Vertically oriented dipole

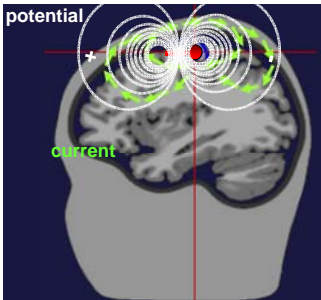
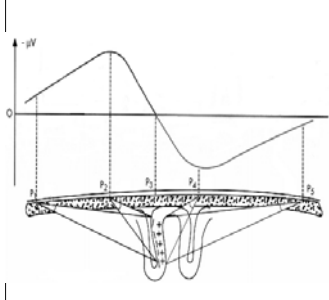




→ The amplitude maximum is located above the electric source.

Localisation des sources de l'EEG


Radially oriented dipole

→ The amplitude maximum localizes the generator not correctly. It is in reality under the point of polarity inversion, i.e. under the zero potential.


From: www.besa.de


Localisation: Développements technologiques



1980

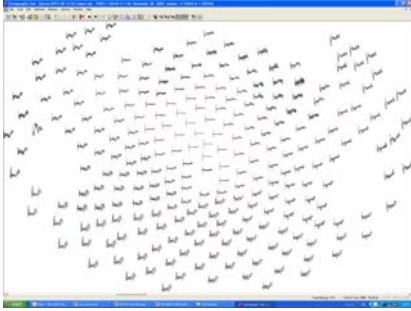
→





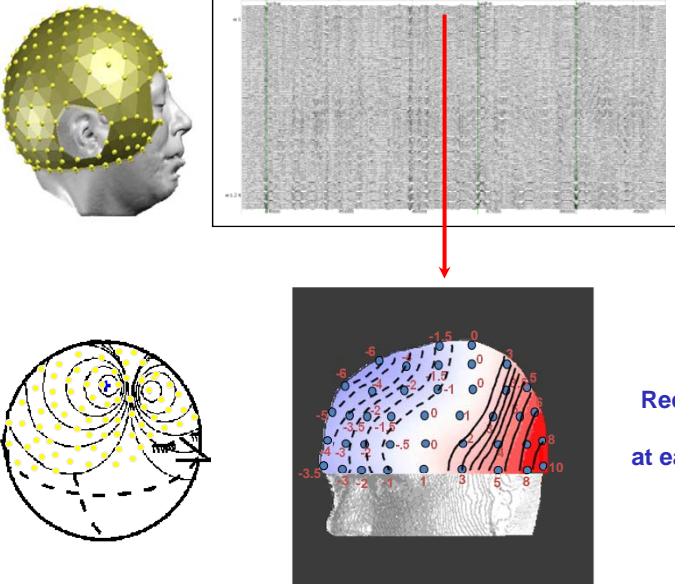
2005

→



UNIVERSITÉ DE GENÈVE
FACULTÉ DE MÉDECINE

Localisation: EEG Mapping



1. Recording of the EEG at many electrodes simultaneously

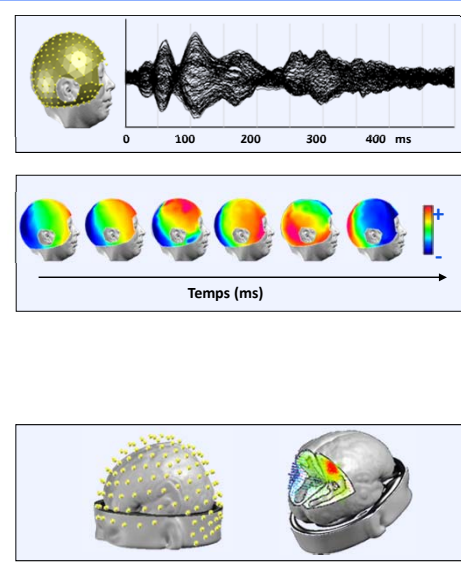
2. Reconstruction of the electric field at each moment in time

Lehmann, 1971

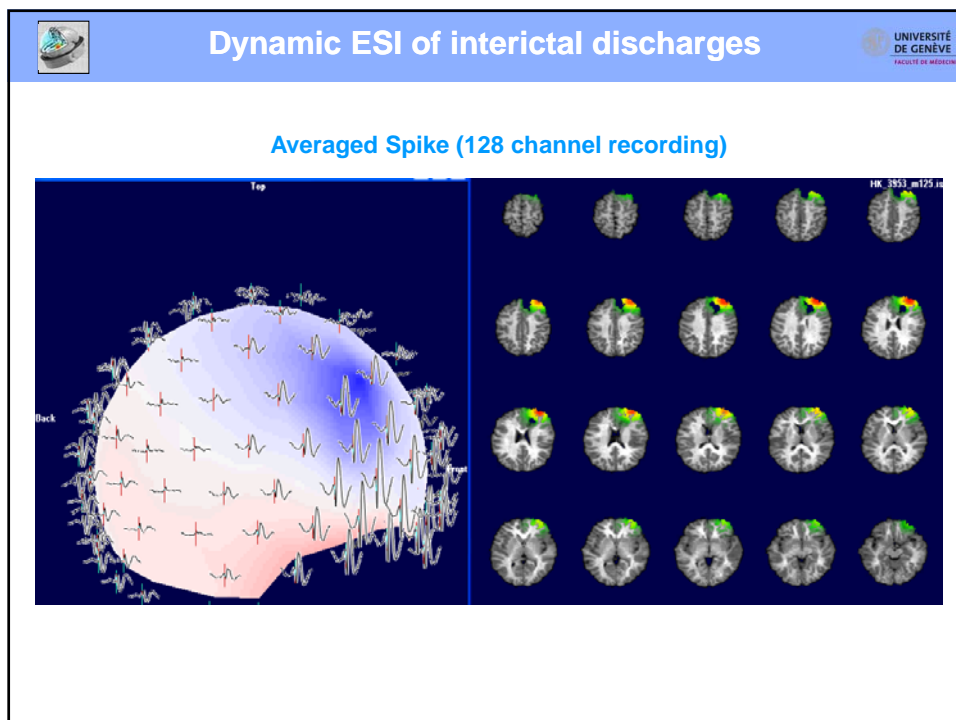
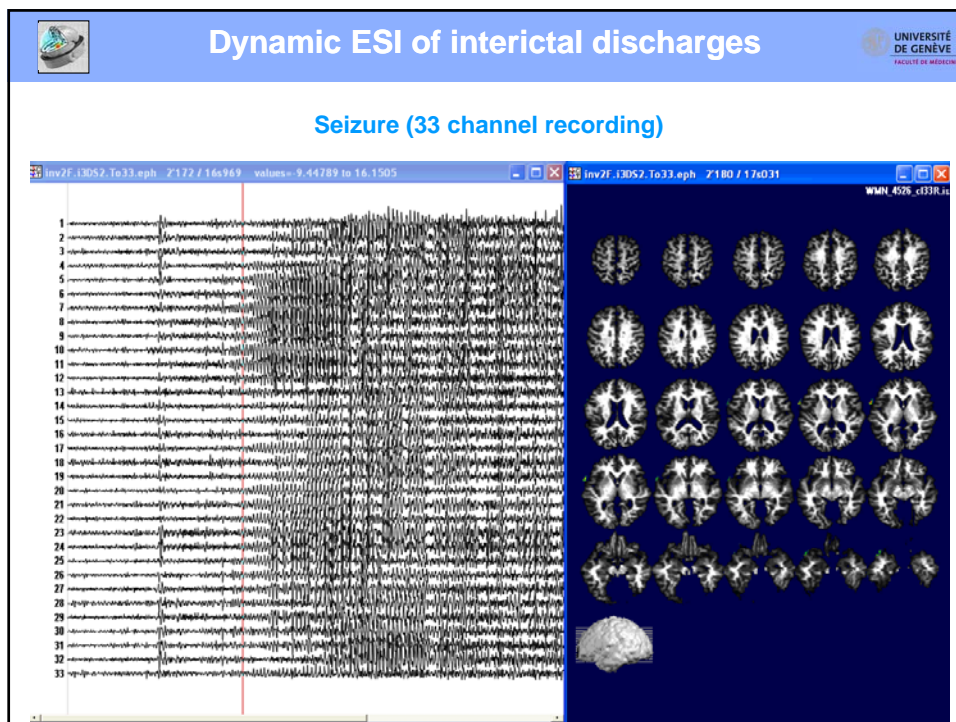
UNIVERSITÉ DE GENÈVE
FACULTÉ DE MÉDECINE

Localisation: EEG source imaging

1. **EEG de Haute Résolution:** 64 jusqu'au 256 électrode
2. **Affichage Topographique avec interpolation:** Analyse spatio-temporelles du champ électrique par cartographie (brain mapping). Permet la visualisation instantanée de la distribution des potentiels améliorant la sélection de régions d'intérêts.
3. **Localisation de la source électrique:** Localisation-3D de la distribution de la source électrique dans le cerveau (idéalement dans l'IRM individuel) grâce à des modèles mathématiques de solution inverse. Ex: estimation de source de type LAURA: Local Auto-Regressive Average.



Temps (ms)





Electroencéphalographie (EEG)

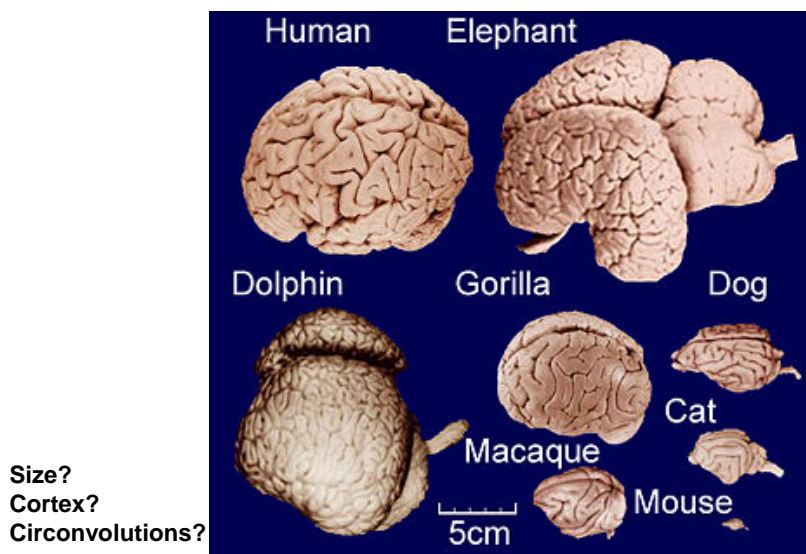


Résumé EEG3

- L'enregistrements de potentiels évoqués requiert le moyennage de nombreuse réponses (faible amplitude de signal)
- La localisation des sources de l'EEG n'est pas directe:
 - l'activité électrique des générateurs voyagent jusqu'à la surface
 - la polarité du signal EEG à la surface dépendra de l'orientation des dipôles
- Important de caractériser l'EEG de surface par des enregistrements de haute densité couvrant l'ensemble du crâne
- Localisation des sources par solution inverse

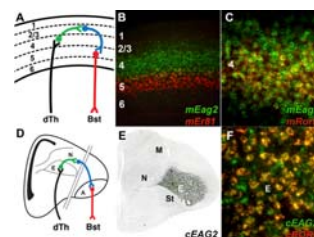
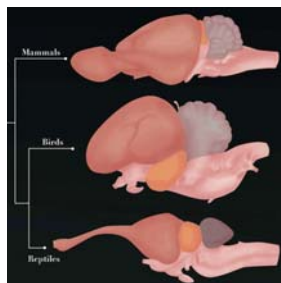
1. Animal model for EEG studies?

In general, is it a good model for neuroscience?

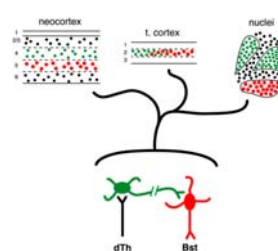
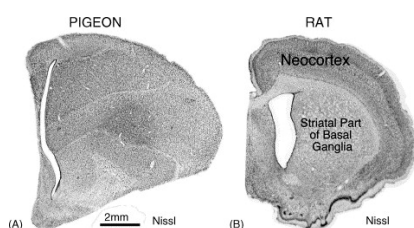


1. Animal model for EEG studies?

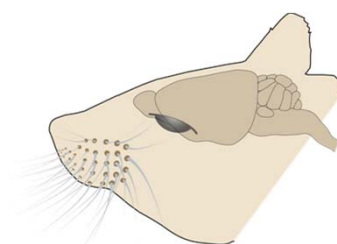
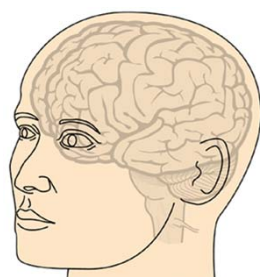
Mammifer vs birds



Dugas-Ford et al, PNAS 2012



1. Animal model for EEG studies?



Humans and rodents brains share fundamental physiological, histological and anatomical characteristics

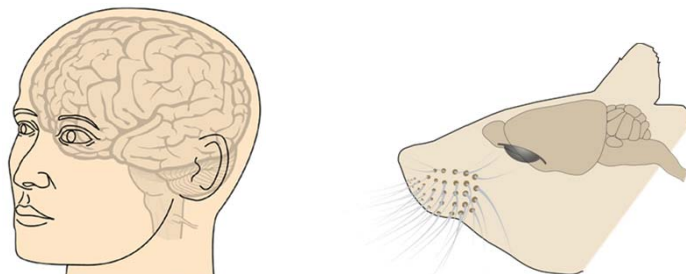
Fundamental neuroanatomy:

→ Same embryologic divisions:

rhombencephalon (medulla, pons, cerebellum), mesencephalon (midbrain), prosencephalon (di+telencephalon)

→ Same cortical types: paleocortex, archicortex, neocortex

1. Animal model for EEG studies?



Humans and rodents brains share fundamental physiological, histological and anatomical characteristics

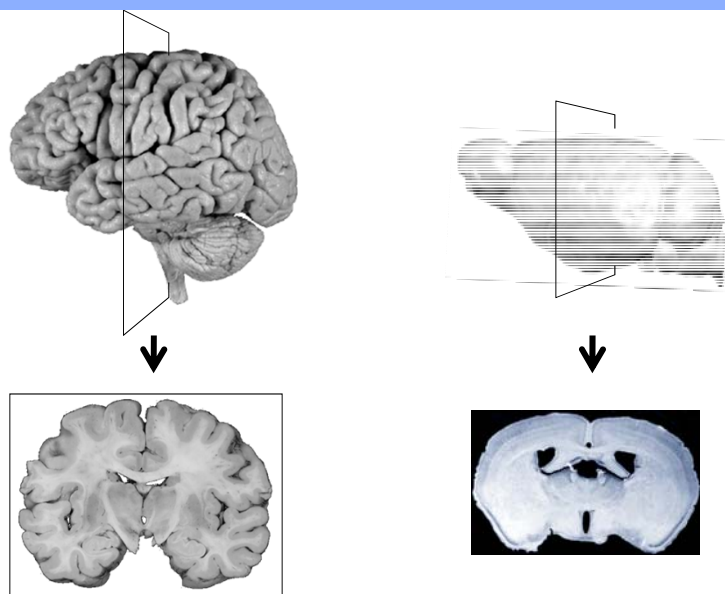
Fundamental units are neurons and astrocytes

Human brain= 100 billion neurons
Human cortex= 12 billion

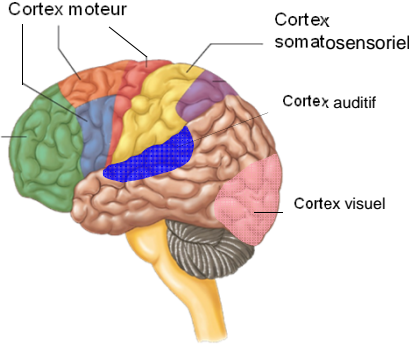
Rat cortex= 15-30 million
Mouse cortex= 4 million

→ In both species, neurons make about 10.000 synapses each
→ No specific neuronal type in human

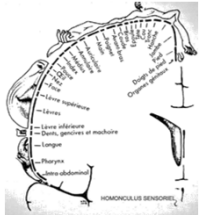
1. Animal model for EEG studies?



1. Animal model for EEG studies?

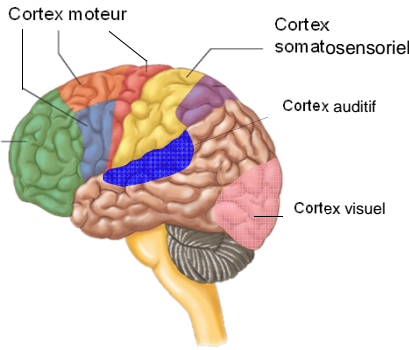


•Functional areas

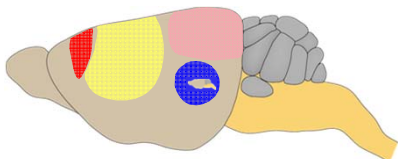


•Somatotopic maps

1. Animal model for EEG studies?



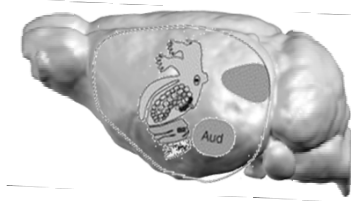
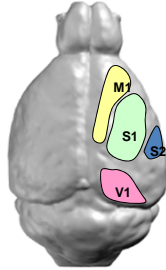
•Functional areas



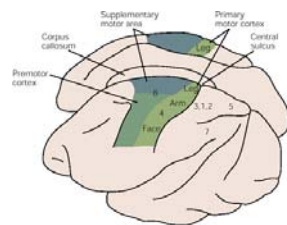
•Functional areas

1. Animal model for EEG studies?

mouse



•Somatotopic sensory and motor maps



macaque



1. Animal model for EEG studies?

Summary:

- Very similar to the human one
- Similar fundamental physiological and histological characteristics
- Similar fundamental neuroanatomy: mostly crossed, brainstem and thalamic relays before cortex, cortex
- Cortex divided in similar functional areas
- Similar functional and anatomical organization: retinotopic, tonotopic and somatotopy

→Behavior? Conscious? Language? ...

What to do with an animal model in neuroscience?

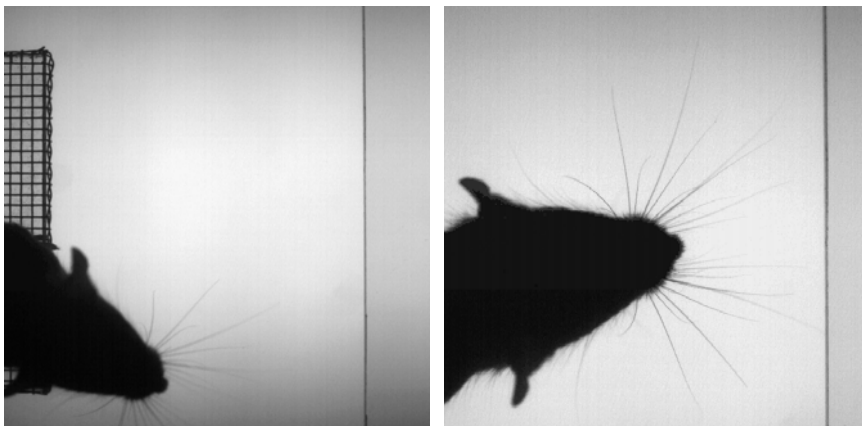
→ To study the cellular and molecular basis for network function

- invasive electrophysiology
- experimental lesions
- environmental manipulations
- pharmacological studies
- genetic manipulations to study molecular basis of networks function and pathologies:
example→ Laurent!

→Questions/caveats:

- **Anesthetized, awake head restrained, freely moving?**
- **Ethical debate:** « the benefit to humans does not justify the harm to animals »
- Animal care regulations, alternatives where possible, RRR= replacement-reduction-refinement
- **Can we transpose observations made in rodents to human?**

A brief introduction to the mouse/rat whisker-to-barrel cortex system

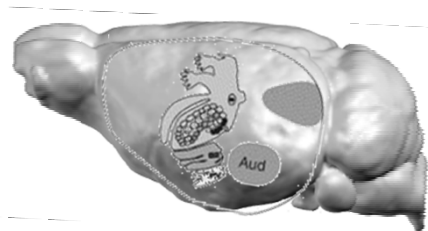


A brief introduction to the whisker-to-barrel cortex system

The somatosensory facial whiskers



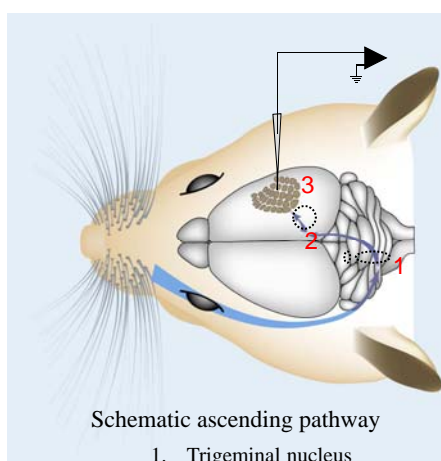
Somatotopic « barrel » maps in S1



Ideal model to study:

- Experience and lesion dependant plasticity,
- development and maturation of neuronal networks,
- physiological bases of sensory processing,
- ...

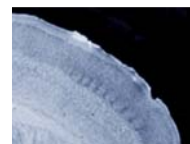
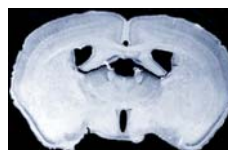
A brief introduction to the whisker-to-barrel cortex system



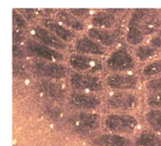
Schematic ascending pathway

1. Trigeminal nucleus
2. Thalamus
3. Cortex

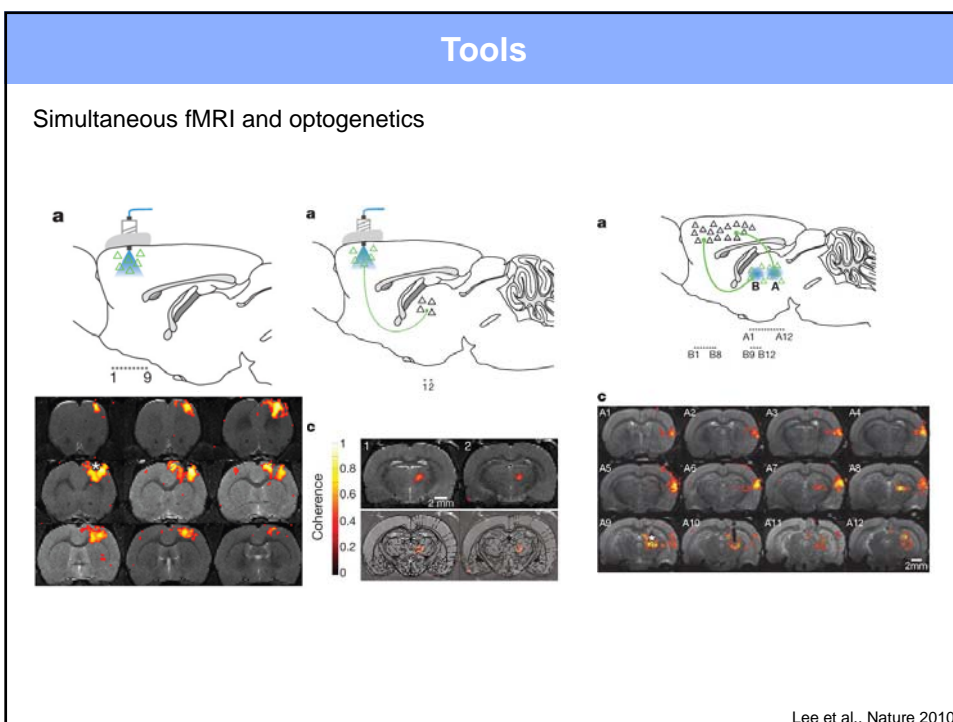
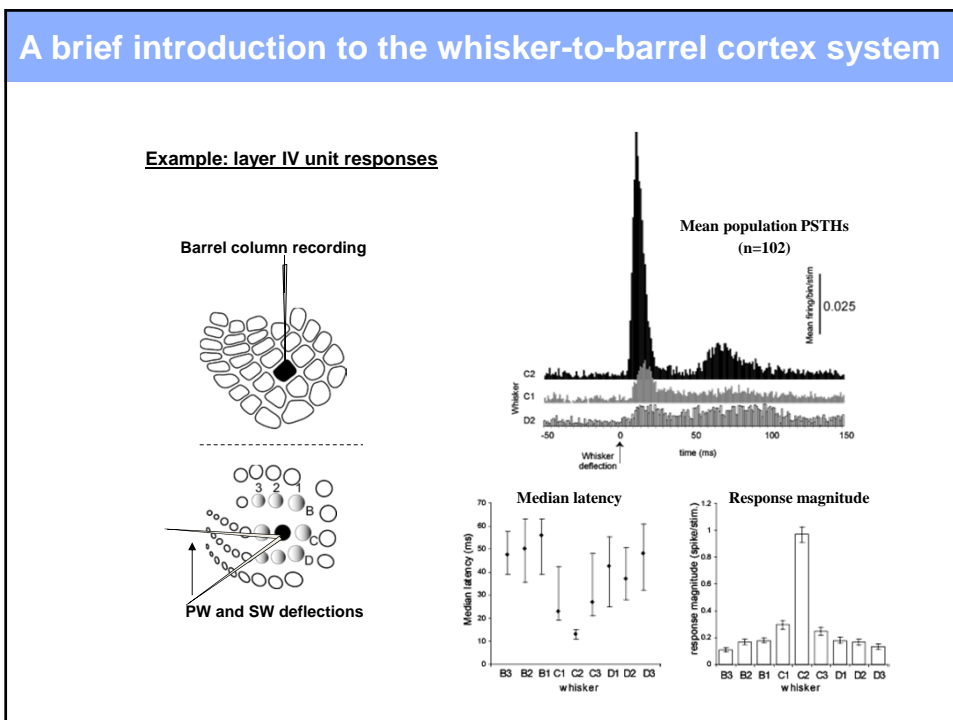
Coronal section



Tangential section



→ Easy to study sensory processing at the neuronal level in vivo



Tools

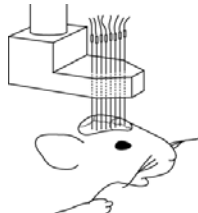
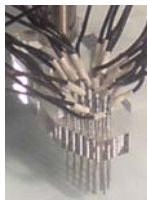
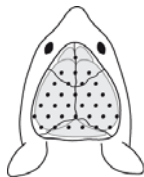
When you want to study large-scale neuronal networks, you especially want:

- Adequate spatial sampling
- High temporal resolution
- Minimal invasiveness: allows leaving the network intact and evaluating its function several times in the same individual animal (development? reversibility of plasticity? dynamic reorganization following brain lesion?)

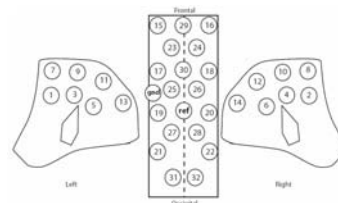
→Why not EEG mapping?

Mapping EEG in animals

32 CHANNEL MOUSE GRID Epicranial



32 CHANNEL MACAQUE GRID Scalp



Mapping EEG in animals

- ANESTHETIZED
- AWAKE, HEAD RESTRAINED
- AWAKE, FREELY MOVING

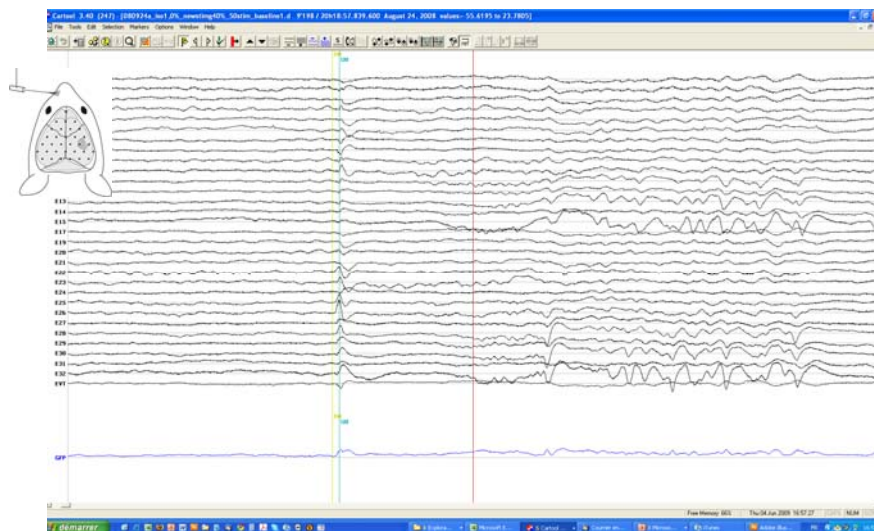


Lab movie

Mapping EEG in animals

Epicranial somatosensory evoked potentials (SEP):

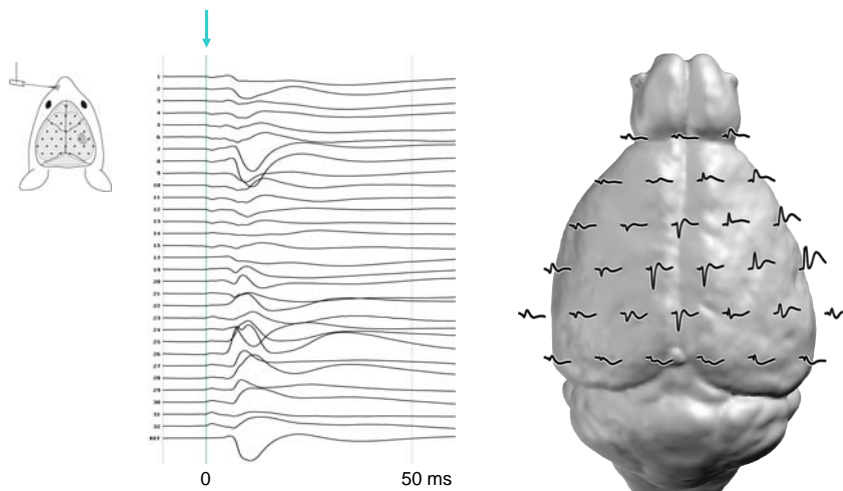
- Response of the brain to mechanical stimulation of the whiskers with 32e grid



Mapping EEG in animals

Epicranial somatosensory evoked potentials (SEP):

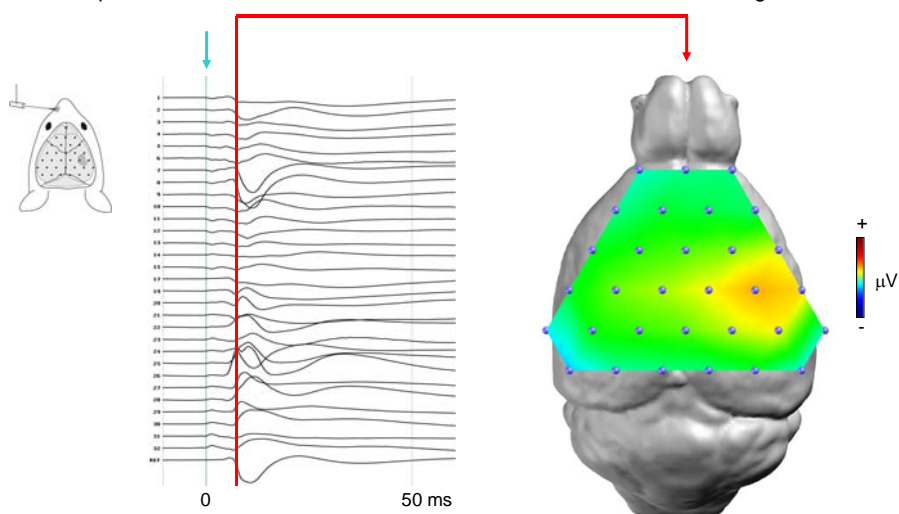
- Response of the brain to mechanical stimulation of the whiskers with 32e grid

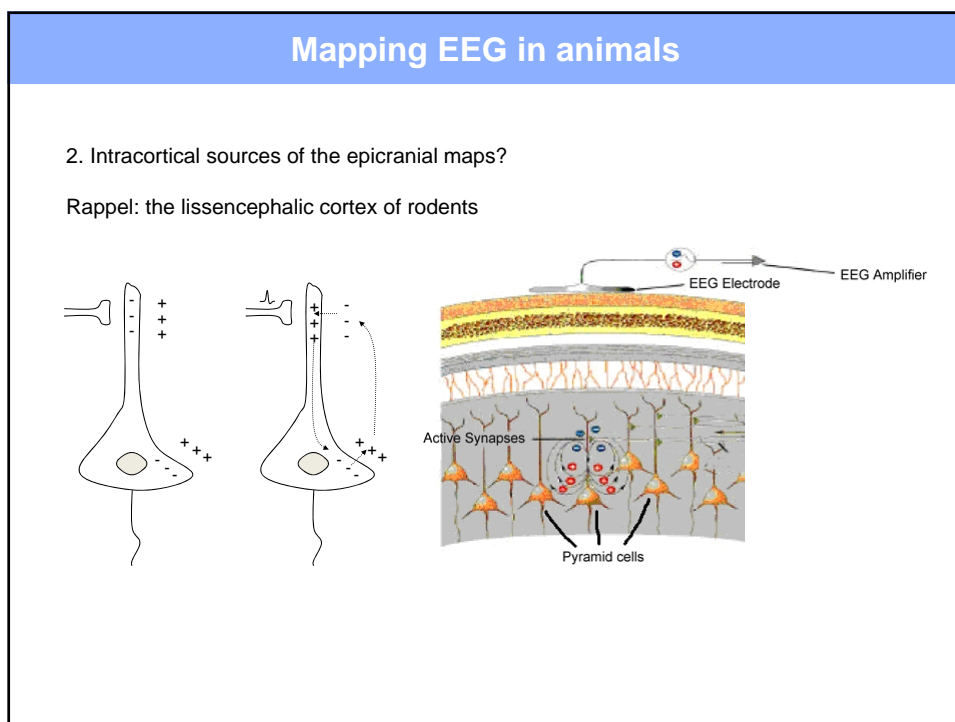
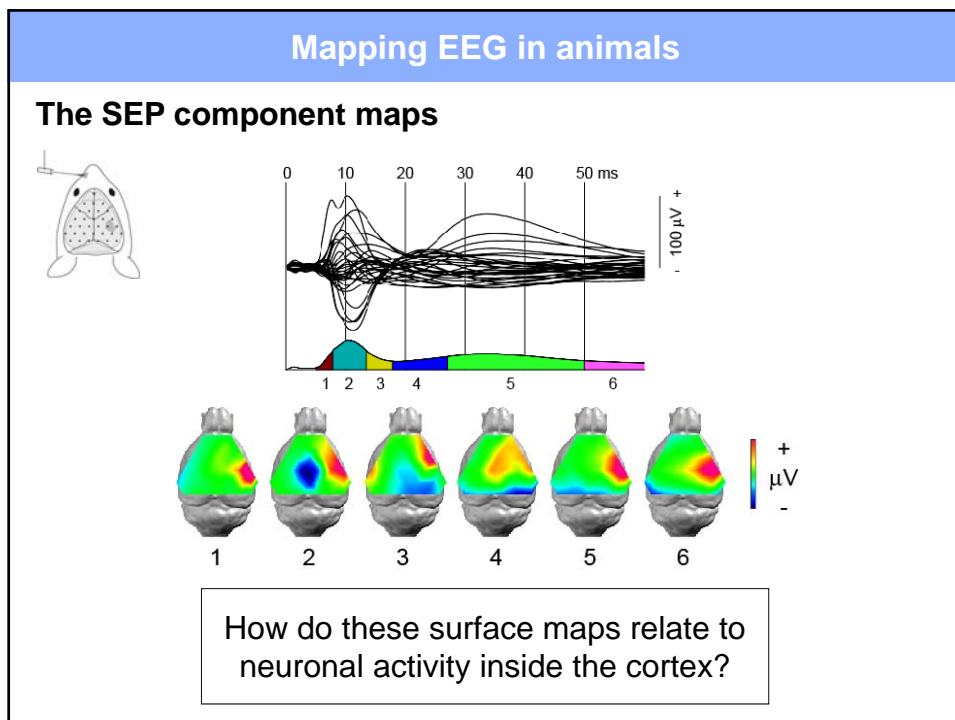


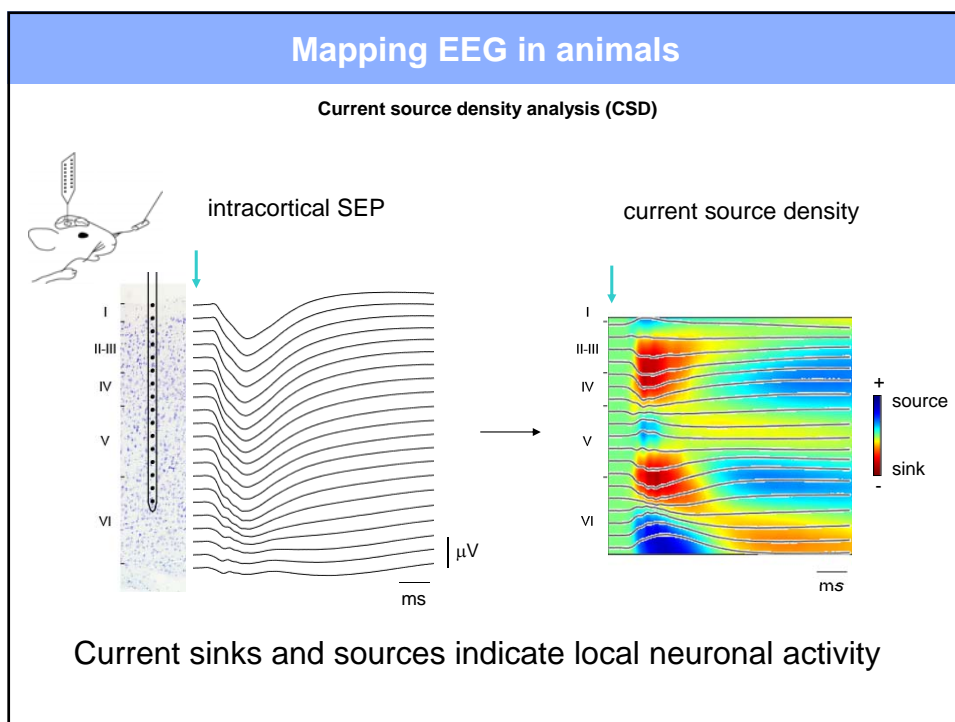
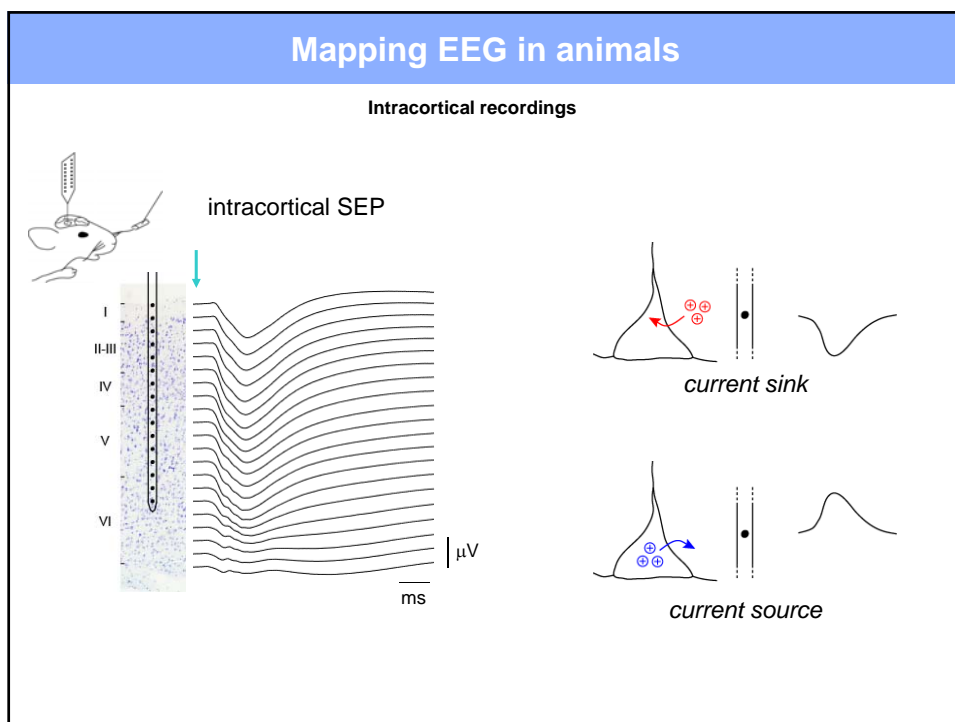
Mapping EEG in animals

Epicranial somatosensory evoked potentials (SEP):

- Response of the brain to mechanical stimulation of the whiskers with 32e grid

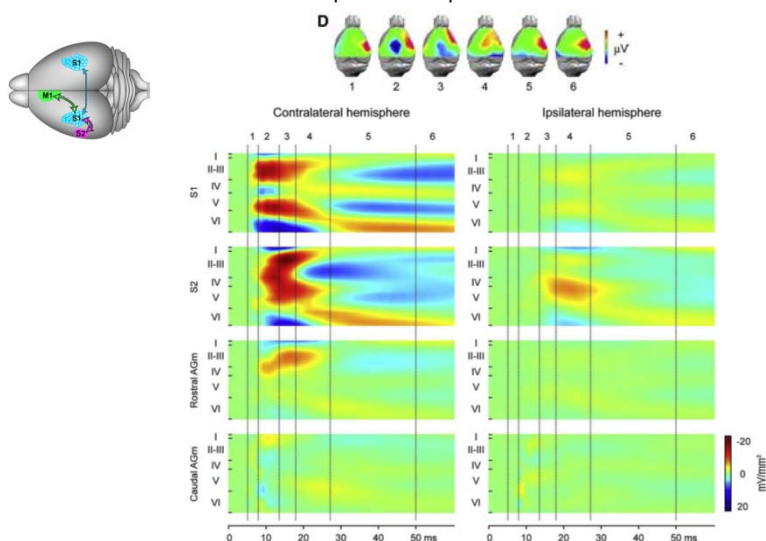






Mapping EEG in animals

2. Intracortical sources of the epicranial maps?



Mapping EEG in animals

→Epicranial ERP are reproducible in the same mice: allow for repeated measures (acute and chronic effects of lesions, recovery and treatment evaluation, plasticity)

What can be done with mouse epicranial ERP?

- Genetic manipulations
- Epilepsy models (heterotopic cortex)
- Functional recovery after brain lesions
- Functional maturation
- Functional plasticity
- Behavioral networks